

# Nylostad 6

# Przewodnictwo metali i stopów

Przypomnienie: porównanie 1-elekt. stanów stagionarych  
elektronów Sommerfelda i Blocha

W6.1

Wielkość	→ wolody Sommerfelda	→ Blocha
wolny kwant.	$\vec{k}$ (takie same dla wszystkich elektronów)	$\vec{k}, n$ (takie same dla wszystkich elektronów w jednym pasmie); $n$ - indeks pasma
zakres zmiany $k$	$\vec{k} \rightarrow$ cała przestrzeń $k$ zgodnie z war. B-K	$\vec{k} \rightarrow$ przebiega po wąskim pasie $k$ , ale w jednej kom. skan. $n \rightarrow$ powtarzający się indeks
Energia	$E(\vec{k}) = \frac{\hbar^2 k^2}{2m}$	dla każdego pasma $n$ funkcja $E_n(\vec{k})$ nie ma prostej formy analitycznej. AIE: $E_n(\vec{k} + \vec{R}) = E_n(\vec{k})$ $\vec{R}$ - okres siaci odwr.
Prędkość	srednia prędkość → na porównanie o wektorze porównanie z indeksem pasma $n$ i wektorem $\vec{k}$ $\vec{v} = \frac{\hbar \vec{k}}{m} = \frac{1}{\hbar} \frac{\partial E(\vec{k})}{\partial \vec{k}}$	srednia prędkość → na porównanie z indeksem pasma $n$ i wektorem $\vec{k}$ $\vec{v}_n(\vec{k}) = \frac{1}{\hbar} \frac{\partial E_n(\vec{k})}{\partial \vec{k}}$
Funkcja falowa	F. falowa → z wektorem $\vec{k}$ $\Psi_{\vec{k}}(\vec{r}) = \frac{e^{i\vec{k} \cdot \vec{r}}}{\sqrt{V}}$	F. falowa → z indeksem pasma $n$ i wektorem $\vec{k}$ $\Psi_{n\vec{k}}(\vec{r}) = e^{i\vec{k} \cdot \vec{r}} u_{n\vec{k}}(\vec{r})$ $u_{n\vec{k}}(\vec{r})$ nie ma prostej formy ale $u_{n\vec{k}}(\vec{r} + \vec{R}) = u_{n\vec{k}}(\vec{r})$

W 6.2

Dynamika  $\vec{r}$  w przybliżeniu krawędzią sferyczną  
(Newtonowski podejście do ruchu elektronu)

- próba pogodzenia dynamiki (zderzeń w modelu Newtonowskim) ze stałością nośną (porządku m. Blocha)

$$\frac{d\vec{r}}{dt} = \frac{t\vec{k}}{m}$$

$$t \frac{d\vec{k}}{dt} = -e (\vec{E} + \vec{v} \times \vec{B})$$

obecność zewnętrznych

pól

$$\vec{E}, \vec{B}, \vec{DT}$$

Przy opisie ruchu paski falowej:

$$\psi(\vec{r}, t) = \sum_{\vec{k}'} g(\vec{k}') \exp\left[i(\vec{k}' \cdot \vec{r} - \frac{\hbar^2 k'^2 t}{2m})\right]$$

$\vec{k}'$  :  $\vec{r}$  — wartość średnia po dlu i położenia  
(wy uwzględnieniu zasady nieoznaczoności)

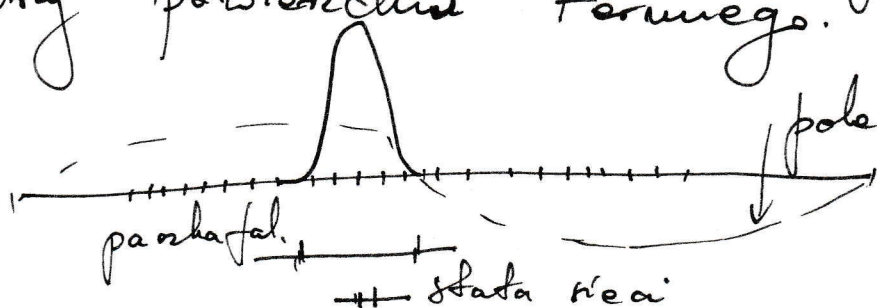
$$\Delta x \Delta k_x > 1$$

WIAKA: przy idealnym ułożeniu atomów w sieci periodycznej (centra rozpraszania) fala może się rochodzić bez tłumienia obiektu koharentnej, konstruktywnej interferencji fal rozprostowanych!

Makale mała oporność bo żadne atomy nie jest idealnym kryształem! (defekty w postaci wakansów, pozycji niszy w strukturze, itc.) rozpraszają elektryny (nawet w niskich T)

- oddychanie jordanów z położeniami rosnącymi (drgania formułowe)  $\rightarrow$  oddychaniem od określonej  $\rightarrow$  rozpraszają elektryny!

W6.3 Należy powiedzieć o charakterze rozpraszania na jądrach "szypic" się na procesach rozpraszania przy powierzchni Fermiego.



pole zw. Problemy skalni i rozpraszanie zjawisk

pole równ.

fala propagująca

$$v_n(\vec{k}) = \frac{1}{\hbar} \frac{\partial E_n(\vec{k})}{\partial \vec{k}} \rightarrow \psi_n(\vec{r}, t) = \sum_{\vec{k}'} g(\vec{k}') \psi_{n\vec{k}'}(\vec{r}) \exp\left[-\frac{i}{\hbar} E_n(\vec{k}') t\right]$$

$$g(\vec{k}') \approx 0 \quad |\vec{k}' - \vec{k}| > sk \quad (\text{rozmiar wektora } \vec{k} \text{ mały wobec } B2)$$

$E_n(\vec{k})$  — zmienia się niewiele dla położenia  
Tworzące paczki fale

$$\text{przydłożność grupowa } \frac{\partial \omega}{\partial \vec{k}} = \frac{\partial}{\partial \vec{k}} \left( \frac{\epsilon}{\hbar} \right)$$

Formułowanie paczki falowej

$$\vec{r} = \vec{r}_0 + \vec{R}$$

$$\psi_n(\vec{r}_0 + \vec{R}, t) = \sum_{\vec{k}'} [g(\vec{k}') \psi_{n\vec{k}'}(\vec{r}_0)] \exp\left[i(\vec{k}' \cdot \vec{R}) - \frac{1}{\hbar} E_n(\vec{k}') t\right]$$

• superpozycja fal paczków = funkcja wagowa  $\sum g(\vec{k}) \psi_{n\vec{k}}(\vec{r}_0)$

$\psi_n(\vec{r}_0 + \vec{R})$  powinna być lokalizowana w okolicy

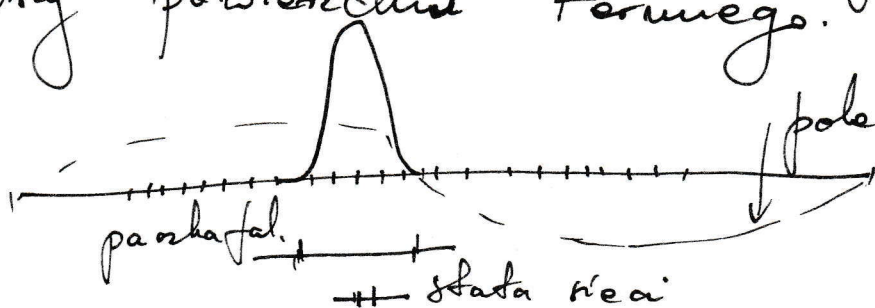
$$\Delta R \sim \frac{1}{\Delta k} !$$

$sk$  — rozmiar wektora  $\vec{k}$  paczki

$sk$  mały wobec  $B2 \Rightarrow$

$sk$  duży wobec stałej  $a$

W6.3 Należy powiedzieć o charakterze rozpraszania na jądrach i skupić się na procesach rozpraszania przez powierzchnie Fermiego.



pole ver. Problemy stałe  
i rozpraszanie  
zjawiskowe

pole zewn.

fala propagująca

$$v_n(\vec{k}) = \frac{1}{\hbar} \frac{\partial E_n(\vec{k})}{\partial \vec{k}} \rightarrow \psi_n(\vec{r}, t) = \sum_{\vec{k}'} g(\vec{k}') \psi_{n\vec{k}'}(\vec{r}) \exp\left[-\frac{i}{\hbar} E_n(\vec{k}') t\right]$$

$$g(\vec{k}') \approx 0 \quad |\vec{k}' - \vec{k}| > sk \quad (\text{rozmiar wektora } \vec{k})$$

$E_n(\vec{k})$  — zmiany się niewiele dla położenia  
trwających pasek falowych

$$\text{przydłożność grupowa } \frac{\partial \omega}{\partial \vec{k}} = \frac{\partial}{\partial \vec{k}} \left( \frac{E}{\hbar} \right)$$

formułowanie pasek falowej

$$\vec{r} = \vec{r}_0 + \vec{R}$$

$$\psi_n(\vec{r}_0 + \vec{R}, t) = \sum_{\vec{k}'} [g(\vec{k}') \psi_{n\vec{k}'}(\vec{r}_0)] \exp\left[i(\vec{k}' \cdot \vec{R}) - \frac{1}{\hbar} E_n(\vec{k}') t\right]$$

superpozycja fal pasekowych = fukcja wagowa  $\left[ g(\vec{k}) \psi_{n\vec{k}}(\vec{r}_0) \right]$

$\psi_n(\vec{r}_0 + \vec{R})$  powinna być lokalizowana w okolicy

$$sR \sim \frac{1}{\Delta k} !$$

$sk$  — rozmiar wektora  $\vec{k}$   
pasek

$sk$  male wobec B2  $\Rightarrow$

$sR$  duże wobec stałej  $a$

W 6.4 | Konkluzja 1: poza fałowa poziomów Blocha z dobrze określonym wektorem  $\vec{k}$  w strefie B2 rozciąga się na przestrzeni wielu komórek element.

Konkluzja 2: model kwazi-klasyczny powala przewidzieć w jaki sposób pod nieobecność zderzeń ewoluje w czasie elektron ( $\vec{r}, t$ ) pod wpływem pol zewnętrznych.  $\rightarrow$  opisuje się na zasadności struktury elektronowej  $E_n(\vec{k})$  i nie wymagającej informacji o potencjalnie określonych.

### Model kwazi-klasyczny

① ignorujemy przyjęcia "migdy po surowe"  
 $\downarrow$  — dobrze określone

$$\dot{\vec{r}} = \vec{v}_n(\vec{k}) = \frac{1}{\hbar} \frac{\partial E_n(\vec{k})}{\partial \vec{k}}$$

$$\hbar \ddot{\vec{k}} = -e \left[ \vec{E}(\vec{r}, t) + \mu_0 \vec{v}_n(\vec{k}) \times \vec{H}(\vec{r}, t) \right]$$

③ w stanie równowagi cieplnej przyjmuje się do gęstości elektronów pochodzących z paska "n" i wektorów zawartych w objętości  $d\vec{k}$  i dany jest funkcja Fermi-Diraca

$$f(E_n(\vec{k})) \frac{d\vec{k}}{4\pi^2} = \frac{d\vec{k}/4\pi^2}{\exp[(E_n(\vec{k}) - \mu)/k_B T + 1]}$$

W 6.5

## Wnioski z teorii kwantowej klasycznej

- ① Nosiłki podlegające mogą pochodzić z różnych pasów o różnych  $\vec{v}_n(\vec{k})$  z uwagi na różnicę Energie  $E_n(\vec{k})$ . — tylko stan w stanie  $k_B T$  jest pow. Fermiego bios uchodzi o transporcie (wielonosinowa teoria)
- ② Kwantowy NIE jest podan elektronem Blocha zamiast  $\frac{\hbar^2 k^2}{2m}$  mały  $E_n(\vec{k})$ !  
bo prędkość zunia podlegała określonej  $\frac{d\vec{p}}{dt} = \vec{F}$   
podczas gdy  $\frac{d\vec{p}}{dt} = \vec{v}_n(\vec{k}) = \frac{1}{\hbar} \frac{\partial E_n(\vec{k})}{\partial \vec{k}}$   
gradient w przestrzeni "k"
- ③ Granice stosowania teorii
- warunki  $eEa \ll \frac{[E_g(\vec{k})]^2}{E_F}$  brak pręścia migdy pasu.  
 $E_g(\vec{k}) = E_{u1}(\vec{k}) - E_u(\vec{k})$ !  
spotyka się w metalach
- $E = gj \sim 10^{-2} \frac{V}{cm}$   $a \sim 10^{-8} \text{ cm}$   
 $E_g \sim 1 \text{ eV} \Rightarrow E_g(\vec{k}) \sim 10^{-5} \text{ eV}$   $\sqrt{eEa \sim 10^{-10} \text{ eV}}$   
(nie ma takich pierw w metalach!)
- przeciąże elektryczne  $\rightarrow$  pręścia migdy pasu.
- $\hbar \omega_c \ll \frac{[E_g(\vec{k})]^2}{E_F}$  dla pol. magn.  $B \sim 1 \text{ T}$   
 $\hbar \omega_c \sim 10^{-4} \text{ eV}$
- nie jest spotykana przy  $E_g(\vec{k}) \sim 10^{-2} \text{ eV}$   
takie pierw są spotykane  $\rightarrow$  przeciąże magn. up. pod skośnym okiem spektroskopii SO.

W 6.6.

Pojęcia przed hadunkiem i ciepła

przed  
hadunkiem

$$\vec{j} = (-e) \int \frac{d\vec{k}}{4\pi^3} \frac{1}{\hbar} \frac{\partial \mathcal{E}(\vec{k})}{\partial \vec{k}}$$

przed  
ciepłem

$$\vec{j}_\epsilon = \int \frac{d\vec{k}}{4\pi^3} \mathcal{E}(\vec{k}) \frac{1}{\hbar} \frac{\partial \mathcal{E}(\vec{k})}{\partial \vec{k}} = \frac{1}{2} \int \frac{d\vec{k}}{4\pi^3} \frac{1}{\hbar} \frac{\partial}{\partial \vec{k}} [\mathcal{E}(\vec{k})]^2$$

- Ciasto state (kristal) ~~z~~ litów w wąskim pasma  $\rightarrow$   
funkcje kubiczne i ciepłowe jasne izolatorów elektrycznych  
i cieplnych
- Dla przewodnictwa chłodzącego tylko  $e$  z niezależnością  
względem pasma!

$$0 = \int \frac{d\vec{k}}{4\pi^3} \vec{v}(\vec{k}) = \int_{\text{obs}} \frac{d\vec{k}}{4\pi^3} \vec{v}(\vec{k}) + \int_{\text{puść}} \frac{d\vec{k}}{4\pi^3} \vec{v}(\vec{k})$$

po B2

$$\vec{j} = (+e) \int \frac{d\vec{k}}{4\pi^3} \vec{v}(\vec{k}) \quad \text{dziury}$$

Pojęcia wytworzony przez elektryny zajmujące zbiór posiadających pasma = pojęcie, litów by powstać gdyby nie obserwować a wąskie inne porządku zajęte przez osiągające hadunkiem  $+e$ .

elektryny  $\rightarrow$  brakujące dziury  
dziury  $\rightarrow$  brakujące elektryny

Masa efektowna (tensor)

$$[M^{-1}[\vec{k}]]_{ij} = \pm \frac{1}{\hbar^2} \frac{\partial^2 \mathcal{E}(\vec{k})}{\partial k_i \partial k_j} = \pm \frac{\partial v_i}{\partial k_j}$$

W 6.7

$$\vec{M}(\vec{k}) = \pm e (\vec{E} + \mu_0 \vec{v}(k) \times \vec{H})$$

$m^* > 0$        $m^* < 0$   
 Elektronen      Löcher

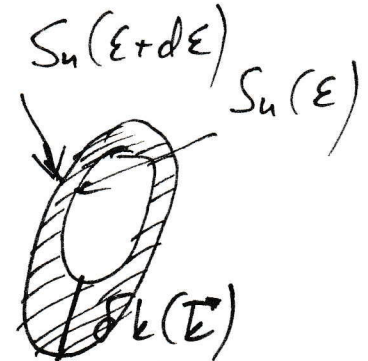
$$S_{Cu} (273 K) \approx 1.56 \mu R \cdot cm$$

$$g_u(\epsilon) d\epsilon = \int \frac{d\vec{k}}{4\pi^3} \times \begin{cases} 1 & \epsilon \leq \epsilon_n \\ 0 & \text{sonst} \end{cases}$$

$$g_u(\epsilon) = \int \frac{d\vec{k}}{4\pi^3} \delta[\epsilon - \epsilon_n(\vec{k})]$$

$$g_u(\epsilon) d\epsilon = \int \frac{dS}{4\pi^3} \delta k(\vec{k})$$

$$S_u(\epsilon)$$



$$\epsilon + d\epsilon = \epsilon + |\nabla \epsilon_n(\vec{k})| / \delta k(\vec{k})$$

$$\downarrow \quad \delta k(\vec{k}) = \frac{d\epsilon}{|\nabla \epsilon_n(\vec{k})|}$$

$$g_u(\epsilon) = \int \frac{dS}{S_u(\epsilon)} \frac{1}{|\nabla \epsilon_n(\vec{k})|}$$

